

مقارنة بين دالة الإنتماء ودالة الأنتروبي في الإنحدار الخطي

الضبابي المكيف

أ.م.د. محمد جاسم محمد / كلية الادارة والاقتصاد / جامعة بغداد
الباحث / أحمد فاروق عباس

تاريخ التقديم: 2017/5/25

تاريخ القبول: 2017/9/20

المستخلص

يوجد العديد من مصادر عدم التأكد التي تؤثر في المنطق الإحصائي، إلا أن الأساليب التقليدية لا تستطيع التعامل مع جميع أنواع عدم التأكد الأمر الذي دفع العديد من الباحثين إلى تطوير الأساليب التقليدية ومازالت الدراسات قائمة إلى يومنا هذا تضع الفروض من أجل إيجاد فهم مشترك لغرض الوصول إلى حلول جديدة عبر استخدام أساليب متطورة تدمج بين النظريات التقليدية والنظريات الحديثة لمصادر عدم التأكد. يهدف البحث إلى تطوير أنموذج الإنحدار الخطي الضبابي المكيف في حالة اعتماد عدم الدقة في البيانات مصدراً لعدم التأكد وبالتحديد الأنموذج المقترح من قبل الباحثين (Coppi, & et al) في المصدر [1]، لكن بدلاً عن السائد في تحليل الإنحدار الخطي الضبابي تم اعتماد طريقة تضبيب حديثة النشأة والتي تعتمد على الموقع ودوال الأنتروبي لرقم ضبابي ثلاثي ذي شكل منحنى أنتماء مختلف بدلاً عن استخدام دوال الأنتماء التي تعتمد على مجموعة المركز والانتشار، أما لغرض مقارنة النماذج في هذا البحث فقد تم استخدام متوسط الفرق المطلق كمقياس لتقييم الأداء.

كما أظهرت نتائج الدراسة كفاءة استخدام الموقع ودوال الأنتروبي لوصف الأرقام الضبابية وتفوقها على استخدام دوال الأنتماء، إذ أشارت النتائج أن الأنموذج المكيف الذي تم تطويره في هذا البحث قد أمثل أفضل النتائج بالمقارنة مع الأنموذج المكيف باستخدام دوال الأنتماء المقترح في المصدر [1].

المصطلحات الرئيسية للبحث / أرقام ضبابية ثلاثية، دالة الأنتماء، دالة الأنتروبي، مربعات صغرى ضبابية تكرارية، إنحدار ضبابي مكيف.



مجلة العلوم

الاقتصادية والإدارية

العدد 103 المجلد 24

الصفحات 453-476

*بحث مستل من رسالة ماجستير.



Introduction

1. المقدمة

تتسم معظم البيانات في واقع الحال بأنها مثقلة بأنواع مختلفة من مصادر عدم التأكد، وأن العديد من هذه المصادر تؤثر في المنطق الإحصائي فعلى سبيل المثال لا الحصر: العشوائية والغموض والألتباس وعدم الدقة وكذلك الأهمال الجزئي أو تفويت تسجيل بعض المعلومات كل منها يعتبر سببياً لتمثيل عدم التأكد لظاهرة ما [2]. إن معرفة نوع عدم التأكد في النماذج التي يتم بنائها لتمثيل أية ظاهره يعد الخطوة الأساس للتحليل، وذلك لغرض اختيار أسلوب المعالجة الصحيح للتخلص من أوجه عدم التأكد ومن ثم إتخاذ قرارات فعالة، غير أن التحليل الإحصائي التقليدي لا سيما فيما يتعلق بنمذجة الإنحدار غير قادر على تفسير جميع مصادر عدم اليقين المعقدة في الحياة، أدى هذا الى تطوير الأساليب التقليدية وتوسعتها عبر النظر في أفكار ومفاهيم جديدة وفق نظريات مختلفة للتعامل مع هذه المصادر.

تعد نماذج الإنحدار من أشهر أنواع النمذجة الإحصائية التي تستخدم بشكل واسع لموائمة العلاقة الدالية بين مجموعة بيانات تتمثل بالمُخرج (Output) والمدخلات (Inputs)، ويعزى مصدر عدم التأكد في الأساليب التقليدية لتقدير وتحليل المعلمات المجهولة في هذه النماذج إلى جميع المؤثرات العشوائية مما جعلها تتبنى النظرية الاحتمالية لمعالجة مثل هذا النوع من المصادر، لكن في الواقع العديد من الظواهر لا يمكن الحصول على قياسات مفرداتها بشكل مضبوط أو دقيق نتيجة لتعقد النظام أو لتدخل التفكير والأستنتاج البشري فضلاً عن أن بعضها يتم وصفه بشكل متغيرات لغوية مبهمه، في مثل هذه الحالات تبدو النظرية الاحتمالية غير ملائمة لمعالجة مثل هذا النوع من البيانات عبر العشوائية فحسب، إذ ستكون نتائج التحليل ضعيفة ومضللة ولأجل التعامل مع هذا النوع من النماذج لابد من تبسيطها إلى مستوى معقول عبر الأخذ بنظر العناية أنواع عدم التأكد الأخرى.

توجد العديد من الطرائق التي تستخدم لتبسيط هذه النماذج لكن أشهرها استخدام النظرية الضبابية إذ يجدها الباحثون أسهل في التعامل بالمقارنة مع نظيراتها، فضلاً عن أن الحصول على بياناتها يكون أقل كلفة بالمقارنة مع البيانات الدقيقة [3]، وهذا ما أهتم به عمل البحث الحالي بوساطة السماح لنماذج الإنحدار باستخدام المعلومات الإضافية عن عدم دقة القياسات رغبة للوصول إلى نتائج مرضية ومفيدة.

ما ذكر انفا على الأغلب يتم باستخدام المجموعات الضبابية التي يتم تمثيلها بأقتران يدعي بدالة الأنتماء يجعل عناصر المجموعة تتخذ تدرجاً لعضويتها (ضبابيتها) ضمن الفترة [0,1] وليس أعداداً اعتيادية، أما عند التطبيق وبشكل عام لتسهيل عملية المعالجة عادة ما تستخدم الأرقام الضبابية ذات المدى من اليمين واليسار التي توصف بثلاث سمات هي: مجموعة المركز والأنتشار من جهة اليمين والأنتشار من جهة اليسار، على الرغم من أن ضبابية الرقم الضبابي توصف بوساطة دوال الأنتماء لكن في بعض الأحيان يفضل الباحثون تمثيل الضبابية بمؤشرات قياس الضبابية مثل دوال الأنتروبوجي التي تتميز بعدة خصائص جعلتها بديلاً مثالياً يمكن الاعتماد عليه في العديد من التطبيقات بدلاً عن دوال الأنتماء فأصبح بالإمكان وصف الرقم الضبابي عبر موقعه ومؤشر قياس الضبابية عوضاً عن مجموعة المركز والأنتشار [4].

إن طرائق التقدير والتحليل لدراسة الإنحدار في ظل بيئة ضبابية متنوعة كطرائق التقدير والتحليل التقليدية فمنها ما يستخدم أساليب هندسية ومنها ما يستخدم أساليب إحصائية بحتة كالمربعات الصغرى ومثيلاتها والأخيرة تخلصت من عدد من مشاكل الإنحدار الضبابي وتفوقت بنتائجها على الأولى [5].

أقتصر البحث الحالي على أنموذج إنحدار خطي ذو مُخرج ضبابي ومدخلات غير ضبابية إذ هدفت الرسالة إلى توفيق أفضل خطوط مستقيمة من خلال الحصول على مقدرات تجعل مربع معيار (Metric) مناسب بين مشاهدات المخرج الضبابي وتقديراته على الأقل في أعظم أدنى حد لها وهذا تم بالإعتماد على أسلوب المربعات الصغرى التكرارية لأنموذج إنحدار خطي ضبابي مكيف.



Aim and Objective

2. الهدف والغاية

يتحدد هدف الرسالة ببناء أنموذج إنحدار خطي لبيانات غير دقيقة له قدرة التعامل مع المعلومات المتوفرة حول عدم الدقة بشكل سهل ومعقول.
أما الغاية لتحقيق الهدف فتمثلت بتطوير تقديرات المربعات الصغرى الضبابية لأنموذج إنحدار خطي ضبابي مكيف ذو مخرج ضبابي ومدخلات غير ضبابية عبر استخدام دوال الأنتروبي الضبابية والمقارنة بين النتائج باستخدام مقياس تقييم الأداء.

Mathematical Preliminaries

3. تمهيد رياضي

1.3 المجموعات التقليدية والمجموعات الضبابية

تعرف المجموعات التقليدية (Crisp sets) على أنها تشكيلة من الأشياء تدعى بالعناصر تشترك بعدة خصائص ضمن مجال معين سواء كان محدد أم غير محدد، ليكن $X \neq \emptyset$ يمثل فضاء المجموعات التقليدية فإن أي عنصر في الفضاء $x \in X$ قد ينتمي للمجموعة الجزئية التقليدية $A \subseteq X$ إذا أمتلك تلك الخصائص المميزة لها أو العكس فلا ينتمي إليها وعادة ما يتم وصف المجموعات التقليدية بدالة تدعى بالدالة المميزة (Characteristic function) والتي تفرق (Mapping) كل عنصر ينتمي للفضاء X إلى عنصري المجموعة الثنائية $\{0, 1\}$ كما موضح في أدناه [6]:

$$I_A(x): X \rightarrow \{0, 1\} \quad (1)$$

هذه الخاصية (الدالة المميزة) تم تعميمها من قبل (Zadeh, 1965) في المجموعات الضبابية فأصبح أنتقال العنصر من عضويته إلى عدمها يكون بشكل تدريجي مستمر بين 0 و 1 بدلاً عن الحاد في المجموعات التقليدية، على فرض أن $K(\mathbb{R}^m) \neq \emptyset$ يمثل فضاء المجموعات الضبابية فإن المجموعة الضبابية A تعرف على أنها مجموعة جزئية من الفضاء المتجهي الحقيقي \mathbb{R}^m تتميز بأقتران يدعى بدالة الأنتماء (Membership function) الذي يصف درجة أنتماء العنصر x في A كالاتي [6]:

$$\mu_A(x): K(\mathbb{R}^m) \rightarrow [0, 1] \quad (2)$$

Terminologies in Fuzzy Sets

2.3 مصطلحات في المجموعات الضبابية

يمكن تعريف عدد من المصطلحات للمجموعة الضبابية $A \in K(\mathbb{R}^m)$ بشكل مجموعات تقليدية كما موضحة في الشكل (2.2) وكالاتي [6]:

$$1. \text{المستوى } \alpha \text{ -Level } (\alpha) : \{x \in K(\mathbb{R}^m) | \mu_A(x) \geq \alpha\} \quad \forall \alpha \in (0, 1)$$

$$2. \text{السند (Support)} : S(A) = \{x \in K(\mathbb{R}^m) | \mu_A(x) > 0\}$$

$$3. \text{المركز أو اللب (Core (Kernel))} : C(A) = \{x \in K(\mathbb{R}^m) | \mu_A(x) = 1\}$$

Fuzzy Numbers

3.3 الأرقام الضبابية

ليكن $F(\mathbb{R}^m) \neq \emptyset$ يمثل فضاء الأرقام الضبابية فإن الرقم الضبابي $A \subseteq F(\mathbb{R}^m)$ يعرف على أنه المجموعة الضبابية التي تحقق دالة أنتمانها $\mu_A(x): F(\mathbb{R}^m) \rightarrow [0, 1]$ الشروط الآتية [7],[8]:

$$1. \mu_A(\alpha) = \{x | \mu_A(x) \geq \alpha\} \quad \forall \alpha \in [0, 1]$$

$$2. \exists x \text{ تحقق } \mu_A(x) = 1$$

$$3. \lim_{x \rightarrow \tau} \sup(\mu_A(x)) = \mu_A(\tau), \quad -\infty < \tau < \infty$$

$$4. \mu_A(\rho x_1 + (1 - \rho)x_2) \geq \min(\mu_A(x_1), \mu_A(x_2)) \quad \forall \rho \in [0, 1]$$



وكحالة خاصة من الأرقام الضبابية ما يدعى بالأرقام الضبابية ذات المدى من اليمين واليسار (LR -Fuzzy Numbers) التي تعرف بدالتين $R: \mathbb{R}^+ \rightarrow [0, 1]$ و $L: \mathbb{R}^+ \rightarrow [0, 1]$ إذ أن كل من $R(\cdot)$ و $L(\cdot)$ تمثل دوال رتيبة غير تصاعدية تشير إلى شكل دالة الإلتواء من جهة اليمين واليسار على التوالي والتي تحقق الشرطين: $L(x) = R(x) = 1$, if $x \leq 0$ و $L(x) = R(x) = 0$, if $x \geq 1$ [6]، بشكل عام أن أي رقم ضبابي من النوع LR يمكن تمثيله بدالة الإلتواء الآتية:

$$\mu_{\mathcal{A}}(x) \triangleq \begin{cases} L(x) & \text{if } x < m^l \\ 1 & \text{if } x \in [m^l, m^r] \\ R(x) & \text{if } m^r > x \end{cases} \quad (3)$$

إذ أن كل من m^l, m^r يمثلان الحد الأعلى والأدنى لمجموعة المركز على التوالي، إن هذا النوع من الأرقام الضبابية يمكن تقسيمه على صنفين هما رقم ضبابي نوع LR_1 يمتلك مركز واحد (عندما $m^l = m^r$) مثل الرقم الضبابي الثلاثي و رقم ضبابي نوع LR_2 يمتلك مركزين (عندما $m^l \neq m^r$) مثل الرقم الضبابي الرباعي.

Triple-FN

4.3 رقم ضبابي ثلاثي

يعرف $y^R = (\omega; \psi, \delta)_{LR} \in \mathcal{F}(\mathbb{R}^3)$ على أنه رقم ضبابي ثلاثي (Triple-FN) ذو منحني دالة إلتواء من الدرجة R إذا كانت دالة الإلتواء له معرفة كالآتي [9]:

$$\mu_{y^R}(x) \triangleq \begin{cases} 1 - \left(\frac{\omega - x}{\psi}\right)^R & \text{if } x \in [\omega - \psi, \omega) \\ 1 & \text{if } x = \omega \\ 1 - \left(\frac{x - \omega}{\delta}\right)^R & \text{if } x \in (\omega, \omega + \delta] \\ 0 & \text{Otherwise} \end{cases} \quad (4)$$

إذ أن: ω تمثل قيمة الوسط الحسابي لمجموعة المركز و $\psi, \delta \in \mathbb{R}^+$ تمثل قيم الإلتواء و $R \in (0, \infty)$. يمكن ملاحظة مما ورد انفا أن دالتي الإلتواء لكلا الرقمين (2.8) و (2.9) محددة بشكل كامل على مجموعتي المركز $\mathcal{C}(\mathcal{A})$ والسند $\mathcal{S}(\mathcal{A})$. علاوة على ذلك ولأي $R \in (0, \infty)$ فإن الدالتين $L(x)$ و $R(x)$ للرقمين المذكورين انفا يمكن تعريفهما بالشكل الآتي:

$$L(x) = R(x) = 1 - |x|^R, 0 \leq x \leq 1$$

(5) إن اختيار درجة منحني الإلتواء R مهم في التطبيقات وبالأخص التي تهتم بأخذ وزن لتأثير نوع عدم الدقة في الرقم الضبابي فإذا كانت $R \in (0, 1)$ فإن عدم دقة البيانات تتناقص بشكل سريع (تزداد دقتها) أما عندما $R = 1$ فإن عدم دقة البيانات تتناقص بشكل خطي بينما إذا كانت $R \in (1, \infty)$ فإن عدم دقتها تتناقص بشكل بطيء [10]، كذلك ومن خلال التعويض بقيم R المختلفة تبين للباحث الآتي:

* في حالة $R = 1$ فإن (4) سنختصر إلى الرقم الضبابي المثلي والشبه المنحرف على التوالي.



نتيجة (1.3): في حالة الرقم الضبابي الثلاثي $y^R = (\omega; \psi, \delta)_{LR} \in \mathcal{F}(\mathbb{R}^3)$ ذي الرتبة R وعلى افتراض أن $\psi, \delta \neq 0$ ، يلاحظ عندما $R \rightarrow 0$ فإن:

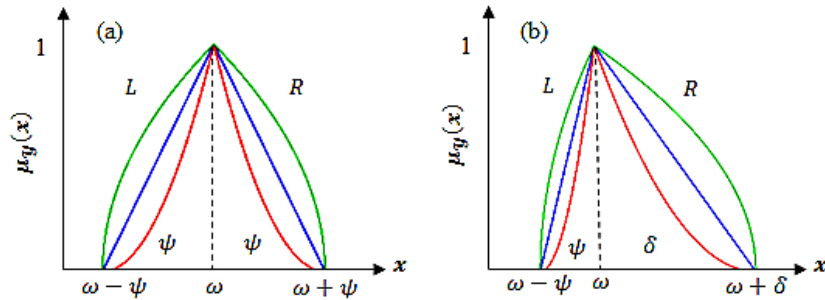
$$\lim_{R \rightarrow 0} \mu_{y^R}(x) \triangleq \begin{cases} 1 & \text{if } x = \omega \\ 0 & \text{Otherwise} \end{cases}$$

أما عندما $R \rightarrow \infty$ فإن:

$$\lim_{R \rightarrow \infty} \mu_{y^R}(x) \triangleq \begin{cases} 1 & \text{if } x \in [(\omega - \psi), (\omega + \delta)] \\ 0 & \text{Otherwise} \end{cases}$$

أي كلما أقتربت البيانات إلى أشد دقتها يتحول الرقم الضبابي الثلاثي إلى رقم تقليدي حقيقي مساوي لقيمة الوسط الحسابي لمجموعة المركز بينما كلما أقتربت البيانات إلى أشد عدم دقتها يتحول الرقم الضبابي الثلاثي إلى فترة معرفة على مجموعة السند، أن النتيجة (1.3) في أعلاه يمكن تعميمها إلى حالات أكثر تعقيداً عندما تكون دالتي الشكل ليمين $R(x)$ و يسار $L(x)$ دالة الإلتواء تمتلك درجات منحني شكل R مختلفة.

شكل (1): التمثيل الهندسي لدالة الإلتواء الثلاثية المتماثلة (a) ($\psi = \delta$) والثلاثية غير المتماثلة ($\psi \neq \delta$) مع منحنيات ألتواء مختلفة [من إعداد الباحث].



Fuzzy Entropy

5.3 الأنتروبي الضبابي

يُعرّف الأنتروبي الضبابي على أنه دالة قياس الضبابية التي تعبر عن مقدار معدل الغموض والألتباس في عملية اتخاذ أي قرار ضمن بيئة ضبابية وأيضاً يُعرّف بأنه كمية المعلومات التي تم فقدانها في عملية تحويل الأرقام التقليدية إلى أرقام ضبابية [4],[11]، كما من معروف أنه كلما كبرت قيمة الأنتروبي دلّ هذا على اتساع الانتشار للمجموعة الضبابية والعكس صحيح.

ليكن الأفتزان $[0, 1] \rightarrow [0, 1]$: $e(\mu_{\mathcal{A}}(x))$ يمثل دالة الأنتروبي الضبابي للمجموعة الضبابية \mathcal{A} ، فعند قيمة x معينة يتبين بأن دالة الأنتروبي تتزايد بشكل رتيب في الفترة $[0, 1/2]$ و تتناقص بشكل رتيب في الفترة $[1/2, 1]$ ، تأخذ دالة الأنتروبي الضبابي e أشكالاً عديدة إلا أنّ أشهر صيغة لها يمكن تعريفها كالآتي [12]:

$$e(\mu_{\mathcal{A}}(x)) \triangleq \mu_{\mathcal{A}}(x) \ln\left(\frac{1}{\mu_{\mathcal{A}}(x)}\right) + (1 - \mu_{\mathcal{A}}(x)) \ln\left(\frac{1}{1 - \mu_{\mathcal{A}}(x)}\right) \quad (6)$$

إذ أنّ الدالة (2.16) تُعرّف بأسم دالة شانون (Shannon function) ومن أجل تحديد قياس أنتروبي مطلق E مستقل عن قيم x يتم تكامل الأنتروبي e على جميع مجال الفضاء $\mathcal{K}(\mathbb{R}^m)$ المعرفة فيه دالة الإلتواء التي يفترض أن تكون قابلة للتكامل وكالآتي:



$$E(\mathcal{A}(x)) = \int_{x \in \mathcal{X}(\mathbb{R}^m)} e(\mu_{\mathcal{A}(x)}) \mathcal{P}(x) dx \quad (7)$$

إذ أن $\mathcal{P}(x)$ تمثل دالة كثافة احتمالية لمجموعة البيانات المتوفرة حول الفضاء $\mathcal{X}(\mathbb{R}^m)$ والتي عادة ما تفرض كتوزيع منتظم (Uniform distribution) $\mathcal{P}(x) = k$ [4] أي تفرض على أنها كمية ثابتة (Constant). إن من أهمية دوال الأنتروبي الضبابية كما سبق ذكره سابقاً هي وصف مقدار كمية الضبابية وعليه تم تطبيق دوال الأنتروبي الضبابية كمؤشر أبسط لوصف ضبابية الأرقام الضبابية عوضاً عن استخدام دوال الإلتواء [4]، إذن بالعودة إلى الرقم الضبابي الثلاثي المعروف في (2.8) فإن دالة الأنتروبي (7) سيتم تجزئتها إلى مركبتين الأولى للجزء المتزايد $[\omega - \psi, \omega]$ والثانية للجزء المتناقص $[\omega, \omega + \delta]$ كما موضح في أدناه:

$$E(y^R(x)) = k \left[\int_{x \in [\omega - \psi, \omega]} e(\mu_{y^R}(x)) dx + \int_{x \in (\omega, \omega + \delta]} e(\mu_{y^R}(x)) dx \right] \quad (8)$$

يدعى الحد الأول والثاني في المعادلة (8) بالأنتروبي الضبابي من جهة اليسار $e_{\mathcal{L}}$ والأنتروبي الضبابي من جهة اليمين $e_{\mathcal{R}}$ على التوالي والذي تمكن الباحث من تمثيله بالشكل الآتي:

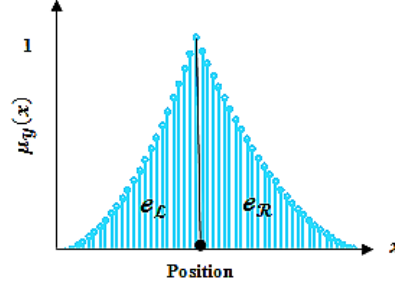
$$E(y(x)) \triangleq \left[e_{\mathcal{L}} \triangleq \int_{-\infty}^m e(L(x)) dx < +\infty \right] + \left[e_{\mathcal{R}} \triangleq \int_m^{\infty} e(R(x)) dx < +\infty \right] \quad (9)$$

إذ أن m تمثل النقطة أو الفترة التي تكون فيها دالة الإلتواء مساوية للواحد $\mu_{y^R}(x) = 1$. يجدر الإشارة هنا بأن دالة الأنتروبي الضبابية الكلية $E(y^R(x))$ تعتمد بشكل تام على الانتشار فقط، علاوة على هذا أن الأنتروبي من جهة اليمين والآنتروبي من جهة اليسار يكون متساوي $e_{\mathcal{L}} = e_{\mathcal{R}}$ في حالة استخدام أرقام ضبابية متماثلة.

إن دالة الإلتواء للأرقام الضبابية التي تمثل ضبابية الأرقام الضبابية تكون رتيبة على جهتي قيم الوسط التي تتجمع حولها أعلى قيم لدالة الإلتواء وفقاً لهذا أقترح كل من [4] أنه بالإمكان تغيير الوصف السابق لأي رقم ضبابي عن طريق أبدال قيمة الوسط بالموقع الذي تتجمع حوله أعلى قيم الإلتواء و وصف الضبابية عبر دوال الأنتروبي التي تعرف أيضاً بأنها رتيبة حول قيم الموقع، فضلاً عما سبق إن هذه الطريقة تتميز بقابليتها للتطبيق لجميع الأرقام الضبابية ذات الرابط واحد لواحد (One-to-one correspondence) بين دالة الإلتواء و قياس الأنتروبي، مما جعل الأرقام الضبابية تتحدد بشكل فريد (Unique) بثلاث صفات هي الموقع والآنتروبي من جهة اليمين والآنتروبي من جهة اليسار والعكس بالعكس أي عبر الموقع والآنتروبي من جهة اليمين والآنتروبي من جهة اليسار يمكننا وصف الأرقام الضبابية بشكل فريد. أي بناءً على هذا الأساس فإن الرقم الضبابي الثلاثي $y^R = (\omega; \psi, \delta)_{LR}$ يوصف بثلاث سمات هي الموقع المتمثل بقيمة الوسط ω (مجموعة المركز) عندما $\mu_{y^R}(x) = 1$ والآنتروبي من جهة اليسار $e_{\mathcal{L}}$ والآنتروبي من جهة اليمين $e_{\mathcal{R}}$ أي $y^R = \{\omega, e_{\mathcal{R}}, e_{\mathcal{L}}\}$



شكل (2): التمثيل الهندسي لرقم ضبابي ثلاثي بالإعتماد على الموقع ودوال الأنتروبي [من إعداد الباحث].



ومن خلال استخدام الموقع والأنتروبي بدلاً عن دوال الإلتواء يرى الباحث أنّ مساهمتها كبيرة جداً في وصف الرقم الضبابي إذ تم جعل عناصر الرقم الضبابي تعتمد على قيم غير ضبابية (Crisp) كما موضح في الشكل (2)، أي أصبح الرقم الضبابي يوصف بعدد من القيم المعرفة في الفضاء الحقيقي وبالتالي تحررت الأرقام الضبابية من القيود المفروضة على العمليات الحسابية في الفضاء (L-R). علاوة على هذا أن تكامل دوال الأنتروبي لمجال الفضاء المعرف عليه الرقم الضبابي جعلها تتأثر بدرجة منحني دالة الإلتواء للرقم الضبابي (نوع عدم الدقة) فصار قياس الضبابية للرقم الضبابي يعبر عن نوع وكمية عدم الدقة سوية على خلاف الطرق التقليدية التي تستخدم دوال الإلتواء إذ لا تتأثر على الإطلاق بنوع عدم الدقة ويصب الأهتمام على قيمة الإلتواء حصراً عند التطبيق.

Scalar Metric

6.3 معيار كمي عددي

يعرّف الأفتزان الموجب Δ على أنه معيار كمي عددي* في $\mathcal{K}(\mathbb{R}^m)$:

$$\Delta: \mathcal{K}(\mathbb{R}^m) \times \mathcal{K}(\mathbb{R}^m) \rightarrow \mathbb{R}^+$$

(10) و يدعى $(\mathcal{K}(\mathbb{R}^m), \Delta)$ بالفضاء المترى، إذا حققت Δ الشروط الآتية لكل المجموعات الضبابية الثلاث

$$[13] \mathcal{A}, \mathcal{A}^*, \mathcal{A}' \in \mathcal{K}(\mathbb{R}^m)$$

1. عدم السالبية (التطابق): $\Delta(\mathcal{A}, \mathcal{A}^*) \geq 0$ (0 if $\mathcal{A} = \mathcal{A}^*$)

2. التناظر: $\Delta(\mathcal{A}, \mathcal{A}^*) = \Delta(\mathcal{A}^*, \mathcal{A})$

3. متباينة المثلث: $\Delta(\mathcal{A}, \mathcal{A}^*) \leq \Delta(\mathcal{A}, \mathcal{A}') + \Delta(\mathcal{A}', \mathcal{A}^*)$

في حالة عدم تحقق شرط التطابق فإن الأفتزان يدعى بمعيار زائف (Pseudometric) أما إذا لم يتحقق شرط متباينة المثلث حينها يدعى الأفتزان بشبه المعيار (Semimetric).

تستخدم المعايير (Metrics) بشكل عام لقياس درجة التقارب (التباعد) بين نقطتين أو بين مجموعتين سواء كانت تقليدية أم ضبابية و أن اشتقاق معيار مناسب للمجموعات الضبابية على وجه الخصوص يعد أساساً لتحقيق أداء أفضل في العديد من التطبيقات مثل: معالجة الإشارة، الإنحدار، العنقدة، الترتيب... الخ والتي غالباً ما يُستخدم في هذه التطبيقات معايير تعد تعميماً للمعايير التقليدية بوصفها مقبولة جداً في حالة تحليل البيانات غير الدقيقة، كما من الجدير بالذكر أن مشكلة إيجاد معيار للمجموعات الضبابية يعطي نتيجة مرضية بشكل كامل لم يتم حلها بعد [14]، إذ أن ما يتحقق في الحالة الخاصة (التقليدية) ليس بالضرورة أن يكون قابل للتعميم في الحالة العامة (الضبابية).

* يدعى بمعيار كمي عددي لأن ناتجه كمية عددية غير ضبابية وكذلك ليتم التفرقة بينه وبين المعايير الضبابية (Fuzzy

metrics) أما لغرض الاختصار سيتم تسميته بالمعيار فقط.



إن أشهر معيارين للمجموعات الضبابية هي تعميم لمعيارين تقليديين تخص المجموعات المحدبة و المتراسة (Compact and convex sets)، يتم هذا التعميم بالإعتماد على مجموعات المستوى α التي تمثل بدورها مجموعات محدبة ومتراسة، إذ يمكن بناء المعيار وفق تكامل الفترة $\alpha \in [0, 1]$ ، نبتداً بمعيار هاوسدورف (Hausdorff metric) الذي يعرف للمجموعتين الضبابيتين $M, N \in \mathcal{K}(\mathbb{R}^m)$ كما موضح فيما يأتي:

$$\Delta_h(M, N) \triangleq \begin{cases} \sqrt[h]{\int_0^1 (\Delta_H(M^\alpha, N^\alpha))^h d\alpha}, & h \in [1, \infty) \\ \sup_{\alpha \in [0, 1]} \Delta_H(M^\alpha, N^\alpha), & h = \infty \end{cases} \quad (11)$$

إذ أن $\Delta_H(M^\alpha, N^\alpha) = \|M^\alpha, N^\alpha\|_H$ تمثل المستوى α للمجموعتين الضبابيتين M, N على التوالي. أما المعيار الآخر فهو معرف في الفضاء (L_2) بدلالة دالة الأسناد التي تحدد بشكل فريد للمجموعة المحدبة وكالاتي:

$$\Delta_s \triangleq \sqrt[p]{\int_0^1 \int_{S^{p-1}} v (s_M(u, \alpha) - s_N(u, \alpha))^2 du d\alpha} \quad (12)$$

إذ أن v يمثل مقياس ليبيج (Lebesgue measure)، $s_M(u, \alpha), s_N(u, \alpha)$ تمثل دالة الأسناد للمجموعة الضبابية M و N على التوالي و التي يمكن وصفها عبر المستوى α للمجموعة الضبابية كالاتي:

$$s_M(u, \alpha) = \sup_{m^\alpha \in M^\alpha} \langle m^\alpha, u \rangle \quad \forall \alpha \in [0, 1]; u \in S^{p-1}$$
$$s_N(u, \alpha) = \sup_{n^\alpha \in N^\alpha} \langle n^\alpha, u \rangle \quad \forall \alpha \in [0, 1]; u \in S^{p-1}$$

إذ أن: $\langle \cdot, \cdot \rangle$ يمثل الضرب الداخلي في \mathbb{R}^p و S^{p-1} تمثل وحدة كروية ذات بعد $(p-1)$ في \mathbb{R}^p .

إن المعيارين السابقين (11) و (12) معرفة بشكل عام للمجموعات الضبابية لكن يمكن تبسيطها عبر اشتقاق عدة معايير خاصة باستخدام أرقام ضبابية معينة ولمزيد من التفاصيل أنظر [15], [16]. كلا المعيارين السابقة لها أهميتها النسبية عند التطبيق لكن يمكن ملاحظة بعض العيوب فيهما إذ أن معيار هادورسوف يعطي لكل نقطة في المجموعة الضبابية الوزن نفسه و لا يوجد أي حضور لتأثير نوع عدم الدقة بينما المعيار الأخير قد حل هذه المشكلة لكن قد تم تعريفه بوساطة دالة الأسناد هذا يجعل كلا المعيارين غير ملائمة في حالة استخدامنا لطريقة التضييب التي تعتمد على الموقع و الأنتروبي، مما حث الباحث على اقتراح تعريف معيار موزون جديد في الفضاء L^2 بين رقمين ضبابيين وعلى وجه التحديد بين رقمين ثلاثيين كما يمتلك هذا المعيار القدره على الأخذ بعين العنايه تأثير شكل منحنى دالة الأنتماء بكونها خطية أو تربيعية أو أسية أو أي شكل آخر، فضلاً عن سهولته في الحساب عند التطبيق.



للرقمين الضبابيين الثلاثيين $\mathbf{y}^R = \{\omega, e_{\mathcal{R}}, e_{\mathcal{L}}\}$ و $\mathbf{y}^{R*} = \{\omega^*, e_{\mathcal{R}}^*, e_{\mathcal{L}}^*\} \in \mathcal{F}(\mathbb{R}^3)$ ، وعلى افتراض أن كل منهما مرصود في مجموعة ذات n من الوحدات فإن الأفتتران الآتي $\Delta: \mathcal{F}(\mathbb{R}^3) \times \mathcal{F}(\mathbb{R}^3) \rightarrow \mathbb{R}^+$ كما موضح في أدناه:

$$\Delta = \sqrt{w_{\omega} \|\omega - \omega^*\|^2 + w_{\mathcal{R}} \|\Gamma e_{\mathcal{R}} - \Gamma e_{\mathcal{R}}^*\|^2 + w_{\mathcal{L}} \|\Pi e_{\mathcal{L}} + \Pi e_{\mathcal{L}}^*\|^2} \quad (13)$$

إذ أن: $w_{\omega}, w_{\mathcal{L}}, w_{\mathcal{R}} \in \mathbb{R}^+$ تمثل أوزان اعتباطية، و $\Gamma = \text{diag}(\mathcal{J}_{\mathcal{L}})$ و $\Pi = \text{diag}(\mathcal{J}_{\mathcal{R}})$ يمثلان مصفوفتان معرفة موجبة (Positive definite matrices) ذات حجم n و أن كل من $\mathcal{J}_{\mathcal{L}_{ii}}$ و $\mathcal{J}_{\mathcal{R}_{ii}}$ يدل على تأثير شكل منحنى دالة الأنتصاف من جهة اليسار واليمين على التوالي والتي من شأنها أن تقلل أو تزيد من تأثير الضبابية في حساب المعيار بمعنى آخر أنها تمثل نوع عدم الدقة لدالة الأنتصاف فبالعودة إلى (2.8) و (2.9) أن عدم الدقة يمكن تمثيلها بشكل خطي، تربيعي، جذر تربيعي إذا كانت 0.5, 2, 1 على التوالي ويتم حساب هذا التأثير كما موضح فيما يأتي:

$$\mathcal{J}_{\mathcal{L}} = \int_0^1 L^{-1}(\omega) d\omega \quad (14)$$

$$\mathcal{J}_{\mathcal{R}} = \int_0^1 R^{-1}(\omega) d\omega \quad (15)$$

وعلى افتراض أن شكل منحنى دالة الأنتصاف متساوي لجهة اليمين واليسار فإن [9]:

$$R^{-1}(\omega) = L^{-1}(\omega) = \begin{cases} (1 - \omega)^{\frac{1}{R}} & 0 < \omega < 1 \\ 0 & \text{Otherwise} \end{cases} \quad (16)$$

إن السبب الرئيس لإضافة الأوزان الاعتباطية هو لتقليل هيمنة اختلاف القياسات بمحاولة لتقليل تباين البيانات سواء في الرقم الضبابي الثلاثي أو الرباعي عند حساب المعيار من أجل ضمان دقة أكثر كما يلاحظ أنه في حالة جعل جميع الأوزان مساوية للصفر فإن أي تأثير للأوزان سيهمل بينما في حالة استخدام رقم ضبابي متمائل عندها سيتساوى وزن كل من أنتروبوجي اليمين وأنتروبوجي اليسار $w_{\mathcal{L}} = w_{\mathcal{R}}$. ولغرض أثبات المعيار المقترح في (13) أعد الباحث النظريتين الآتيتين:

نظرية (1.3): بأفتراض أن $\mathcal{F}(\mathbb{R}^3)$ تمثل مجموعة غير خالية فإن الزوج المرتب $(\mathcal{F}(\mathbb{R}^3), \Delta)$ يمثل فضاء متري للمعيار في (13).

نظرية (2.3): إن الزوج المرتب $(\mathcal{F}(\mathbb{R}^3), \Delta)$ يمثل فضاء متري تام للمعيار في (13).

Fuzzy Linear Regression

4. الإنحدار الخطي الضبابي

يهدف التحليل التقليدي لنماذج الإنحدار بدراسة الأعتمادية الإحصائية عن طريق نمذجة دالة غير معلومة بفرض أن تمثل هذه الدالة أفضل موائمة لمجموعة البيانات المعطاة، ويبنى هذا التحليل عادةً على أساس عدم التأكد الذي يعزى إلى العشوائية المعرفة وفق توزيع إحتمالي معين تحت شرط أن تكون البيانات دقيقة، لكن في الواقع غالباً ما تحتوي بيانات التحليل الخاصة بالظواهر على مصادر عدم الدقة وقد لا نبالغ إذ قلنا أن جميع مصادر البيانات في يومنا الحاضر لا تخلو من تدخل الأستنتاجات والتقديرات البشرية، عليه وبهذا الشرط يهمل التحليل التقليدي مصادر عدم الدقة مما يؤدي إلى خسارة كمية من المعلومات كان بالإمكان أستغلالها لدعم التحليل [17] ومن ثم فإن الأنموذج لن يمثل أفضل موائمة لمجموعة البيانات المعطاة.



في هذه الحالة وجب تعميم بناء وتحليل النماذج التقليدية بشكل يجعلها تمتلك القدرة على تزويد العلاقة الإعتدائية بمعلومات تتعلق بعدم الدقة، هنا تظهر أهمية ما يدعى بنماذج الإنحدار الضبابية التي تستخدم لتحليل العلاقات ذات الطابع الضبابي أو العلاقات ذات البيانات الضبابية، أما فيما يتعلق بنماذج الإنحدار الخطية الضبابية فيمكن اعتبارها كإمتداد لأساليب الإنحدار الخطي التقليدية في بناء دالة خطية لكن ضمن محيط ضبابي.

يضاف على ما سبق، إن نماذج الإنحدار الضبابية تتميز بعدد من الخصائص جعلها تتخلص من قيود الطرائق التقليدية، إذ تلخيص أهم الأسباب الرئيسية لأستخدام الإنحدار الخطي الضبابي عوضاً عن الإنحدار الخطي التقليدي كالآتي [18]:

1. عندما يكون حجم العينة غير كافي لدعم تحليل الإنحدار التقليدي.
 2. عندما لا يمكن تحقيق فرضيات التوزيعات الإحصائية.
 3. عندما يتدخل الحكم والفكر البشري فيصبح المخرج و/أو المدخلات ضبابية.
 4. إذا كانت هيكلية أنموذج الإنحدار التقليدي ضعيفة.
 5. إذا كانت الأخطاء ترتبط مع هيكلية الأنموذج ومع غموض الإدراك البشري للأنموذج على نقيض نماذج الإنحدار التقليدية التي ترتبط أخطائها مع المشاهدات.
- هنالك العديد من الحالات الممكنة في بناء أنموذج إنحدار خطي ضبابي لكن تمكن الباحث من وضع الصيغة العامة له بالشكل الآتي:

$$y^R \approx \bigoplus_{u=0}^k \left(\bigotimes_{u=0}^k \theta_u f_u \right) \quad (17)$$

إذ أن $f_0 = 1$ ، وعليه فإن المخرج الضبابي y^R يتم وصفه بنفس الأساليب التقليدية أي بشكل مجموع المدخلات الضبابية f الموزونة بالمعلمت الضبابية θ ، من الواضح أنه يمكن اشتقاق حالات عديدة من المعادلة (2.34) في أعلاه إذ أي من المخرج و/أو المدخلات و/أو العلاقة بين المخرج والمدخلات قد تكون ضبابية أو غير ضبابية ولمزيد من المعلومات راجع [19].

بشكل عام تأخذ نماذج الإنحدار الضبابية إتجاهين مختلفين كما سبق توضيحه في الفصل الأول، يتمثل الإتجاه الأول بأساليب البرمجة الرياضية والتي يمكن أن تصاغ بالنحو الآتي [18]:

$$\min v \quad (18)$$
$$\text{subject to } \mathcal{P}_t \supseteq \mathcal{O}_t \quad ; \forall t$$

إذ أن v تمثل قياس الغموض المراد تقليله و $\mathcal{P}_t, \mathcal{O}_t$ تمثل المشاهدات والمشاهدات التقديرية على التوالي، ويهدف هذا الأسلوب إلى تقليل ضبابية الأنموذج وفق قيد أن تكون المشاهدات التقديرية تحتوي على جميع المشاهدات الفعلية ضمن حدود معينة. أما الإتجاه الثاني فيتمثل بالأساليب المشابهة لأساليب المربعات الصغرى الأعتيادية والتي يمكن صياغتها كالآتي [18]:

$$\min \sum_t \delta^2(\mathcal{O}_t, \mathcal{P}_t) \quad (19)$$

إذ أن δ يمثل معيار مناسب بين المشاهدات والمشاهدات التقديرية، وكما في أساليب المربعات الصغرى التقليدية يهتم هذا الأسلوب بتقليل مربع معيار مناسب بين المشاهدات وقيمها التقديرية.



بغض النظر عن مدى أفضلية استخدام نماذج الإنحدار الضبابية على التقليدية في الكثير من الحالات إلا أنها عانت من أنتقادات شديدة ولاسيما هيكلية البرمجة الخطية للأنموذج (18) بسبب تحسبها الشديد للقيم الشاردة وعدم السماح لجميع المشاهدات بالمساهمة في عملية التقدير فضلاً عن زيادة الضبابية بإزدياد حجم العينة وللتغلب على هذه الهفوات تم تطوير الأنموذج من قبل عدد من الباحثين باستخدام البرمجة متعددة الأهداف (Multi-objective programming)، هذا على عكس الأساليب المشابهة للمربعات الصغرى فأنها لم تعاني أنتقادات كثيرة على الرغم من تعقيدها الحسابي وربما يعود السبب إلى تشابهها الكبير مع الأساليب التقليدية وقلة الفروق بين المشاهدات والمشاهدات التقديرية الناتجة عنها [20]، على هذا الأساس سنهتم في هذا البحث بالأسلوب الثاني لتقدير المعلمات المجهولة لأنموذج الإنحدار الخطي الضبابي.

AFLRM

5. أنموذج الإنحدار الخطي الضبابي المكيف

لنفترض بأن المدخلات $f_{i1}, f_{i2}, \dots, f_{ik}$ تتمثل بقيم غير ضبابية والمُخرج y^R يتمثل بقيم ضبابية لعينة ذات حجم n فإن الباحث تمكن من كتابة خط الإنحدار الضبابي باستخدام العمليات الحسابية للارقام الضبابية كالآتي:

$$y^R \approx \bigoplus_{u=0}^k \theta_u \cdot f_u \quad (20)$$

تتمثل الأساليب المعتادة لتقدير خط الإنحدار الضبابي ببناء عدد من النماذج الفرعية لكل من مجموعة المركز والانتشار، الأنموذج (20) المذكور انفا يعد حالة خاصة من الأنموذج (19) وتحت مجموعة من القيود للعمليات الحسابية الضبابية فإن كل أنموذج فرعي يمكن تقديره بوسطة إيجاد مقدرات المربعات الصغرى الخاصة به.

من الخطأ الشائع الذي قد يقع فيه العديد من الباحثين هو استخدام أسلوب المربعات الصغرى الاعتيادية على كل أنموذج فرعي من النماذج التي تخص مجموعة المركز والانتشار بشكل مباشر، إذ تتطلب عملية التقدير عدد من التعقيدات لأجل تحقيق القيود الخاصة بالعمليات الحسابية الضبابية، فلو اعدنا كتابة المعادلة (20) في حالة استخدام أرقام ضبابية ثلاثية TFN للمُخرج y^R سيتم الحصول على الشكل التالي:

$$y^R \approx \bigoplus_{u=0}^k f_u \left\{ (\theta^\omega; \theta^\psi, \theta^\delta)_{LR} \right\}_u \quad (21)$$

إذ أن $\theta^\omega; \theta^\psi, \theta^\delta$ تمثل معلمات النماذج الفرعية لمجموعة المركز والانتشار في حالة استخدام أرقام ضبابية ثلاثية $y^R = (\omega; \psi, \delta)_{LR}$ على التوالي.

بالاستناد على العمليات الحسابية للارقام الضبابية فإن الأنموذج (21) سيتقيد بأشارة كل من قيم المدخلات والمعلمات وعليه سيتم تجزئة الأنموذج إلى عدد من الحالات، لكن في الحقيقة الأنموذج (21) يمثل منظومة ذات n من المعادلات لكل من أزواج المشاهدات فيبقى السؤال فيما إذا احتوت المعادلة i على معلمات ومدخلات ذات أشارات مختلفة (سالبة و موجبة) فكيف سيتم التقدير بالأعتماد على أسلوب المربعات الصغرى في الفضاء L-R؟ بسبب هذا التعقيد أصبح التطبيق في العديد من الظواهر صعب وغير واقعي.

وعلى نفس فرضية الأنموذج المعروف في (20)، أقتراح الباحثان في [21] نوع آخر من نماذج الإنحدار الضبابية تختلف عن الأساليب المعتادة في التقدير والتي تشير عادةً إلى عدم وجود أي علاقة بين النماذج الفرعية، فقد عد الباحثان ديناميكية الانتشار تعتمد بشكل ما على مجموعة المركز التقديرية وبهذا أصبح الأنموذج قادر على دمج التأثير المحتمل لمجموعة المركز على الانتشار، سُمي هذا الأنموذج بأنموذج الإنحدار الخطي الضبابي المكيف (Adaptive fuzzy linear regression model (AFLRM)) وأصبح من النماذج الشهيرة إذ تم مناقشته وتطويره في وقت لاحق من قبل العديد من الباحثين نذكر القليل منهم [1],[20],[22].



تتلخص طريقة بناء أنموذج الإنحدار الخطي الضبابي المكيف عبر بناء عدد من النماذج الفرعية التي تنقسم على جزئين أساسيين الأول يتمثل ببناء نماذج فرعية على عدد عناصر مجموعة المركز بواسطة نماذج الإنحدار التقليدية أما الجزء الثاني فيتمثل بنمذجة الأنتشار بشكل علاقة إعتماضية على عناصر مجموعة المركز أي بناء أنموذج إنحدار تقليدي للأنتشار باستخدام عناصر مجموعة المركز كمدخلات وبالتالي تحايل الأنموذج المكيف في عملية التقدير لتجنب العمليات الحسابية المعقدة للمجموعات الضبابية، بالأعتداد على هذا الأساس سوف يتم بناء أنموذج الإنحدار الضبابي المكيف لكن بدلاً عن استخدام دوال الأنتماء لوصف الضبابية سيتم استخدام الموقع و الأنتروبي في التقدير أي سنفترض إعتماضية ديناميكية الأنتروبي على الموقع.

1.5 أنموذج إنحدار خطي ضبابي مكيف باستخدام دالة الإلتواء

على فرض أن المخرج للأنموذج (21) يتمثل برقم ضبابي ثلاثي TFN من الدرجة R $\mathbf{y}^R = (\omega; \psi, \delta)_{LR} \in \mathcal{F}(\mathbb{R}^3)$ فإن أسلوب AFLRM يتلخص ببناء ثلاثة نماذج فرعية بالوقت نفسه (Simultaneously) وهي أنموذج لمجموعة المركز $\mathcal{C}(\mathbf{y}^R) = \{\omega\}$ وأنموذجين للأنتشار من جهة اليمين ψ واليسار δ كلاهما يعتمد على مجموعة المركز التقديرية، أي كالآتي:

$$\begin{aligned} C^* &= F_x \Omega \\ \psi^* &= C^* \lambda_1 + 1\lambda_0 \\ \delta^* &= C^* \alpha_1 + 1\alpha_0 \end{aligned} \quad (22)$$

إذ أن C^*, ψ^*, δ^* تمثل متجهات القيم التقديرية ذات n مركبة لكل من مجموعة المركز والأنتشار من جهة اليمين واليسار على التوالي، F_x تمثل مصفوفة التصميم ذات الحجم $n \times p$ ، Ω تمثل متجه لمعاملات مجموعة المركز ذي p مركبة، $(\delta_1, \delta_0, \alpha_1, \alpha_0)$ يمثل كل منها معلمة (Scalar) توضح العلاقة بين مشاهدات الأنتشار والمشاهدات التقديرية لمجموعة المركز، $\mathbf{1}$ يمثل متجه ذي n مركبة جميع مدخلاته متمثلة بالقيمة العددية واحد.

لتقدير الأنموذج (22) المتكون من ثلاث نماذج فرعية أقترح الباحث في [22] استخدام معيار مناسب (يعتبر تعميم للمعيار الأقلبيدي) بين المشاهدات والمشاهدات التقديرية، ثم تم استخدام أسلوب المربعات الصغرى للوصول إلى تقديرات تجعل مربع هذا معيار في أصغره، عليه توصل الباحث إلى مجموعة المقدرات الآتية:

$$\begin{aligned} \Omega^{(k+1)} &= \begin{bmatrix} w_c + w_\psi (\lambda_1^{(k)})^2 \\ + w_\delta (\alpha_1^{(k)})^2 \end{bmatrix}^{-1} (F_x' F_x)^{-1} F_x' \begin{bmatrix} w_c C \\ + w_\psi \lambda_1^{(k)} (\psi - 1\lambda_0^{(k)}) \\ + w_\delta \alpha_1^{(k)} (\delta - 1\alpha_0^{(k)}) \end{bmatrix} \\ \lambda_1^{(k+1)} &= (\Omega^{(k)'} F_x' F_x \Omega^{(k)})^{-1} \Omega^{(k)'} F_x' [\psi - 1\lambda_0^{(k)}] \\ \alpha_1^{(k+1)} &= (\Omega^{(k)'} F_x' F_x \Omega^{(k)})^{-1} \Omega^{(k)'} F_x' [\delta - 1\alpha_0^{(k)}] \\ \lambda_0^{(k+1)} &= n^{-1} \mathbf{1}' [\psi - F_x \theta \lambda_1^{(k)}] \\ \alpha_0^{(k+1)} &= n^{-1} \mathbf{1}' [\delta - F_x \theta \alpha_1^{(k)}] \end{aligned} \quad (23)$$



2.5 أنموذج إنحدار خطي ضبابي مكيف بأستخدام دالة الأنتروبي

بطريقة مماثلة للأسلوب المذكور انفاً أستخدمنا TFN في بناء AFLRM لكن بدلاً عن مجموعة المركز والانتشار تم أستخدم الموقع ودوال الأنتروبي وهكذا فإن (2.47) سيعاد معلّمها بشكل نماذج فرعية على أعتبار أن المخرج يوصف بالشكل $\mathbf{y}^R = \{\omega, e_{\mathcal{L}}, e_{\mathcal{R}}\}$ ، كما موضح فيما يأتي:

$$\begin{aligned}\omega^* &= \mathcal{F}_x \theta \\ e_{\mathcal{L}}^* &= \omega^* \tau_1 + 1 \tau_o \\ e_{\mathcal{R}}^* &= \omega^* \varphi_1 + 1 \varphi_o\end{aligned}\quad (24)$$

إذ أنّ $\omega^*, e_{\mathcal{L}}^*, e_{\mathcal{R}}^*$ تمثل متجهات القيم التقديرية ذات n مركبة لكل من الموقع والأنتروبي من جهة اليسار واليمين على التوالي، θ تمثل متجه لمعاملات الموقع ذي p مركبة، $(\tau_1, \tau_o, \varphi_1, \varphi_o)$ تمثل معاملات ثوابت (Scalar) توضح العلاقة بين مشاهدات الموقع والمشاهدات التقديرية لدوال الأنتروبي. ولغرض إيجاد تقديرات المعالم المجهولة في (24) أعد الباحث النظرية الآتية:

نظرية (3.2.2): المشكلة $\min_{\theta, \tau_1, \tau_o, \varphi_1, \varphi_o} \Delta^2(w; \theta, \tau_1, \tau_o, \varphi_1, \varphi_o)$ تمنح حد أدنى نسبي (Relative minimum) يمكن تحسينه بأستخدام خوارزمية حل تكرارية وبالإعتماد على المعيار في (13) فإنّ حل يمكن تمثيله بالمعادلات الآتية:

$$\begin{aligned}\theta^{(k+1)} &= \left[\begin{array}{c} w_{\xi} \mathcal{F}_x' \mathcal{F}_x \\ + w_{\mathcal{L}} (\tau_1^{(k)})^2 \mathcal{F}_x' \Pi^2 \mathcal{F}_x \\ + w_{\mathcal{R}} (\varphi_1^{(k)})^2 \mathcal{F}_x' \Gamma^2 \mathcal{F}_x \end{array} \right]^{-1} \left(\begin{array}{c} w_{\xi} \mathcal{F}_x' \omega \\ + w_{\mathcal{L}} \tau_1^{(k)} \mathcal{F}_x' \Pi^2 \left[\begin{array}{c} e_{\mathcal{L}} \\ - \tau_o^{(k)} \mathbf{1} \end{array} \right] \\ + w_{\mathcal{R}} \varphi_1^{(k)} \mathcal{F}_x' \Gamma^2 \left[\begin{array}{c} e_{\mathcal{R}} \\ - \varphi_o^{(k)} \mathbf{1} \end{array} \right] \end{array} \right) \\ \tau_1^{(k+1)} &= \left(\theta^{(k)'} \mathcal{F}_x' \Pi^2 \mathcal{F}_x \theta^{(k)} \right)^{-1} \theta^{(k)'} \mathcal{F}_x' \Pi^2 (e_{\mathcal{L}} - \tau_o^{(k)} \mathbf{1}) \\ \varphi_1^{(k+1)} &= \left(\theta^{(k)'} \mathcal{F}_x' \Gamma^2 \mathcal{F}_x \theta^{(k)} \right)^{-1} \theta^{(k)'} \mathcal{F}_x' \Gamma^2 (e_{\mathcal{R}} - \varphi_o^{(k)} \mathbf{1}) \\ \tau_o^{(k+1)} &= \text{tr}(\text{diag}(\mathcal{J}_{\mathcal{L}}^{-2})) \mathbf{1}' \Pi^2 [e_{\mathcal{L}} - \tau_1^{(k)} \mathcal{F}_x \theta^{(k)}] \\ \varphi_o^{(k+1)} &= \text{tr}(\text{diag}(\mathcal{J}_{\mathcal{R}}^{-2})) \mathbf{1}' \Gamma^2 [e_{\mathcal{R}} - \varphi_1^{(k)} \mathcal{F}_x \theta^{(k)}]\end{aligned}\quad (27)$$

من أجل حل المعادلات التكرارية في كل من (23) و(27) أقترح الباحث خوارزمية عددية مبسطة عند عتبة (Threshold) معينة ($\epsilon = 10^{-6}$) و بمرحلتين الأولى للتقدير والثانية لأختبار حساسية الأستقرارية للحل، إذ يعود سبب الأختبار لكون عملية التقدير تشابه حال المربعات الصغرى الموزونة التكرارية وغيرها من الأساليب التكرارية [22] قد لا تضمن الحد الأدنى المطلق (Absolute minimum) ولكن مجرد حد أدنى نسبي (Relative minimum) بشكل مؤكد، ويمكن توضيح الخوارزمية المقترحة والمخطط الأنسيابي لها كالآتي:



خوارزمية المربعات الصغرى الضبابية التكرارية للأنموذج المكيف

مدخلات الخوارزمية: $\omega \in \mathbb{R}^n$, $e_c, e_x \in (\mathbb{R}^+)^n$, $F_x \in \mathbb{R}^{p \times n}$
مخرجات الخوارزمية: المقدرات التي تضمن على الأقل الحد الأدنى النسبي وكالاتي
 $\theta, \tau_1, \tau_o, \varphi_1, \varphi_o \triangleq \arg \inf (\Delta^2(w; \theta, \tau_1, \tau_o, \varphi_1, \varphi_o))$

التهيئة: $p^k \in \mathbb{R}$; $1 \leq k \leq N$ إذ أن $p^k = \{\theta^k, \tau_1^k, \tau_o^k, \varphi_1^k, \varphi_o^k\} \neq \emptyset$
التكرار:

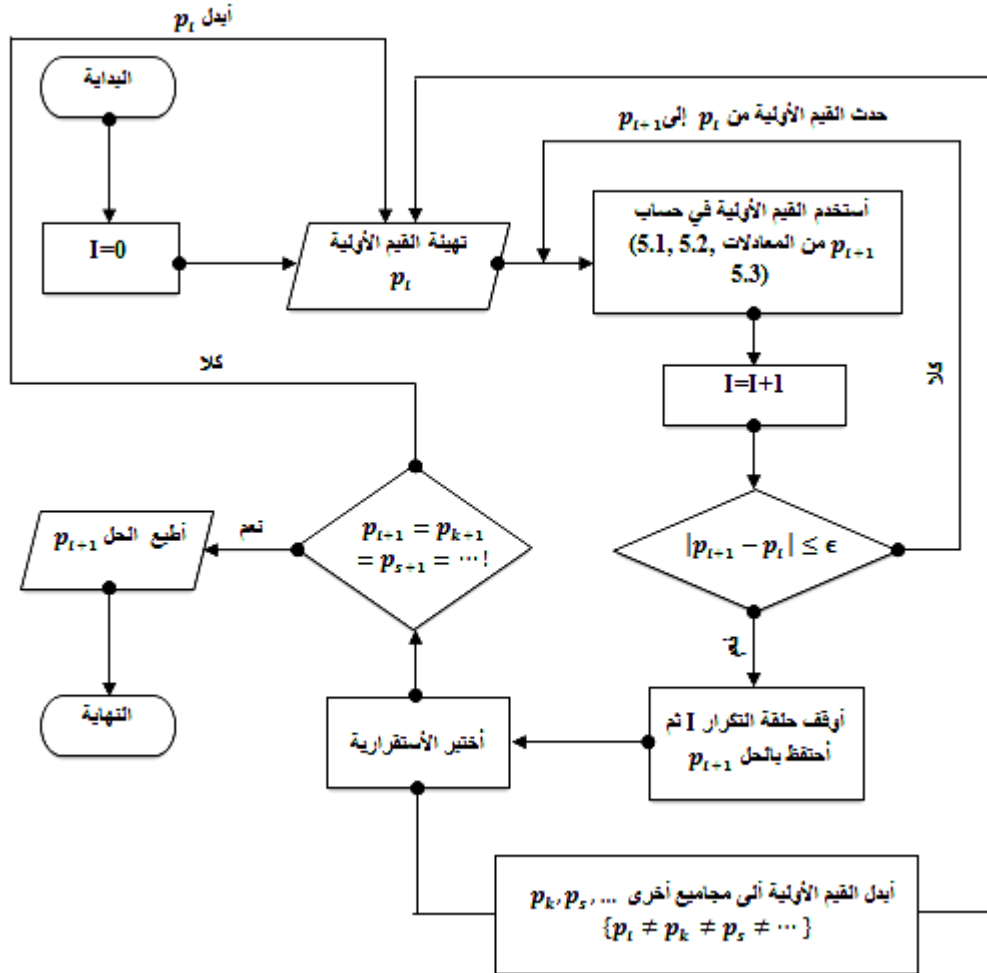
- المرحلة الأولى (مرحلة التقدير)
← الخطوة الأولى: أستخدم p^k لتقدير p^{k+1}
← الخطوة الثانية: حدث p^k إلى p^{k+1}
← الخطوة الثالثة: $c = p^{k+1} - p^k$
← الخطوة الرابعة: (i) إذا تحقق $Pr(|c| \leq \epsilon) = 1$ ، أوقف حلقة التكرار والتقديرات تتمثل بقيم p^{k+1}
(ii) إذا كان $Pr(|c| \leq \epsilon) \neq 1$ ، نعود للخطوة الثانية وتستمر عملية التكرار حتى يتم تحقيق معيار التقارب في (i)
• المرحلة الثانية (مرحلة اختبار حساسية الأستقرارية)
← الخطوة الأولى: أختار مجموعة مختلفة عن p^k المستخدمة في المرحلة الأولى
← الخطوة الثانية: كرر المرحلة الأولى حتى يتحقق معيار التقارب
← الخطوة الثالثة: إذا تساوت المقدرات في المرحلتين أذن الحل مستقر فيما عداه أبدل p^k حتى يُضمن تساوي تقديرات المرحلتين

من الواضح أن الأنموذجين في (22) و (24) لا توفر معلمات ضبابية، لكن بما أن المخرج ضبابي والمدخلات غير ضبابية فإن كلا الأنموذجين يحتويان ضمناً على معلمات ضبابية تمثل قياس درجة عدم الدقة في الأنموذجين أو بمعنى آخر تمثل علاقة الانتشار والانتروبوي بالمدخلات، على هذا الأساس قد أقترح [1] دالة أنموذج ضمنية للأنموذج (22) وذلك عن طريق إعادة هيكلته بشكل يتماشى مع العمليات الحسابية للأرقام الضبابية، وكما موضح في فيما :

$$\begin{aligned} C^* &= F_x \beta_c + \iota_c \\ \psi^* &= |F_x| \beta_\psi + \iota_\psi \\ \delta^* &= |F_x| \beta_\delta + \iota_\delta \end{aligned} \quad (28)$$

إذ أن $|F_x|$ تمثل مصفوفة التصميم ذات المدخلات $|f_{ik}|$ تمثل معلمات مجموعة المركز والانتشار من اليسار واليمين على التوالي، $\iota_\delta, \iota_\psi, \iota_c$ تمثل البواقي لكل من مجموعة المركز والانتشار من اليسار واليمين على التوالي.

شكل (3): المخطط الأنسيابي لحل خوارزمية المربعات الصغرى الضبابية التكرارية للأنموذج المكيف [من إعداد الباحث].



إنّ المعادلات في (28) قد لا تحقق الحل التكراري في (22) لكن يمكن الاستفادة منها لغرض الحصول على تقديرات متوافقة مع المعادلات في (22)، وبتوظيف أسلوب المربعات الصغرى الأعتيادية يمكننا الحصول على تقديرات لمعاملات الأنموذج الفرعي لمجموعة المركز C^* والتي يمكن أثبات أنها مطابقة لمعاملات الأنموذج الفرعي لمجموعة المركز في (22) كالآتي:

$$\beta_c = (F'_x F_x)^{-1} F'_x C^* = (F'_x F_x)^{-1} F'_x F_x \theta = \theta$$

أما بالنسبة لمعاملات الأنموذجين الفرعية للانتشار في (22) فيتم البحث عن تقديرات موجبة حتى يكون ناتج ضرب مصفوفة موجبة مع متجه موجب يتمثل بمتجه موجب بسبب $\psi, \delta \in (\mathbb{R}^+)^n$ ، وعليه أقترح الباحث تعيين خوارزمية المربعات الصغرى غير السالبة (Non-negative least squares) لإيجاد هذه التقديرات.



لغرض إيجاد الحل الأمثل باستخدام خوارزمية المربعات الصغرى غير السالبة (NNLS) في إيجاد معلمات النماذج الفرعية للانتشار من جهة اليسار واليمين في (28) يتم تطبيق البرمجة التربيعية تحت ظل قيود ((Karush-Kuhn-Tucker (KKT)، فإذا كانت مصفوفة التصميم والمُخرج متمثلة بالشكل $\mathcal{F}_x \in \mathbb{R}^{p \times n}$ و $\gamma \in \mathbb{R}^n$ على التوالي، فإن مشكلة إيجاد متجه غير سالب $\beta \in (\mathbb{R}^+)^p$ لتصغير مربع المعيار بين المشاهدات γ والمشاهدات التقديرية $\mathcal{F}_x \beta$ يمكن تمثيله كما يأتي [24]:

$$\min_{\beta} \Delta^2(\beta) = \frac{1}{2} \|\mathcal{F}_x \beta - \gamma\|^2 \quad (29)$$

subject to $\beta \geq 0$

إنّ الخوارزمية الأساس لحل مشكلة المربعات الصغرى غير السالبة قد تم وضعها من قبل [23] وتعتمد هذه الخوارزمية على أسلوب المجموعة الفعالة (Active set method) أي تعمل على حل مجموعة صغيرة من القيود الفعالة لتحقيق الحل بشكل تام، فعلى فرض ان هناك p من القيود المتباينة في مشكلة NNLS وكان التقدير للمعلمة i سالب عندها يقال بأن القيد i يمثل قيد فعال (Active constraint) وفيما عدا هذا يقال بأن القيد غير فعال (Passive constraint). يمكن تمثيل خوارزمية المربعات الصغرى غير السالبة لمصفوفة التصميم \mathcal{F}_x^P المرتبطة بالمدخلات المتواجدة في المجموعة الفعالة P [24]، كالآتي:

خوارزمية لوسون وهانسون لحل NNLS

مدخلات الخوارزمية: $\mathcal{F}_x \in \mathbb{R}^{p \times n}$, $\gamma \in \mathbb{R}^n$
مخرجات الخوارزمية: $\beta \geq 0_p$ إذ أنّ $\beta \triangleq \arg \min \|\mathcal{F}_x \beta - \gamma\|^2$
التهيئة: $P \neq \emptyset$, $Q = \{1, 2, \dots, n\}$, $\beta = 0_p$, $w = \mathcal{F}_x'(\gamma - \mathcal{F}_x \beta)$
التكرار:

← الخطوة الأولى: أبدأ بالشروع إذا كانت $Q \neq \emptyset \wedge \left[\max_{i \in Q} (w_i) > \epsilon \right]$

← الخطوة الثانية: $j \triangleq \arg \max_{i \in Q} (w_i)$

← الخطوة الثالثة: إدراج المؤشر j في P وأزلته من Q

← الخطوة الرابعة: $s^P = (\mathcal{F}_x^{P'} \mathcal{F}_x^P)^{-1} \mathcal{F}_x^{P'} \gamma$

• واصل إذا كانت $\min(s^P) \leq 0$

• $\sigma = -\min_{i \in P} (b_i/b_i - s_i)$

• $\beta \triangleq \beta + \sigma(s - \beta)$

• حدث قيمة P و Q

• $s^P = (\mathcal{F}_x^{P'} \mathcal{F}_x^P)^{-1} \mathcal{F}_x^{P'} \gamma$

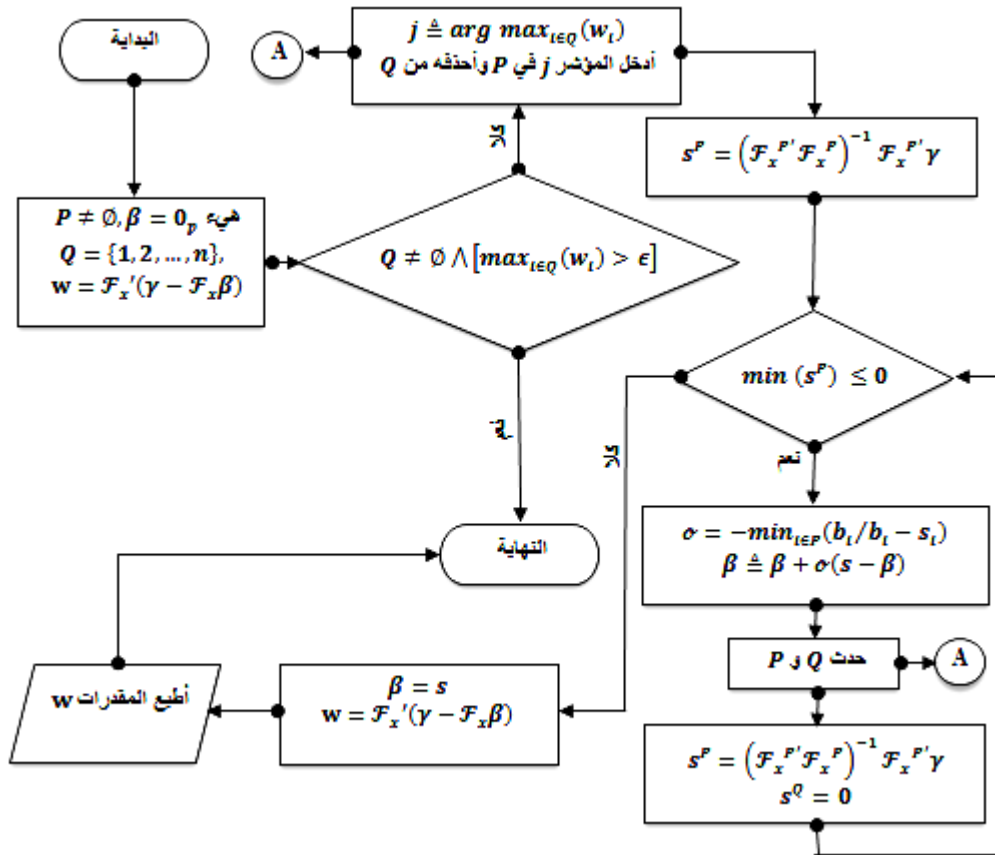
• $s^Q = 0$

← الخطوة الخامسة: $\beta = s$

← الخطوة السادسة: $w = \mathcal{F}_x'(\gamma - \mathcal{F}_x \beta)$

بالنتيجة فإنّ الأنموذج الضمني في (28) تمكنت من إعطائنا فكرة عن تقدير معلمات الأنتشار بشكل تقريبي معقول يتماشى مع العمليات الحسابية للأرقام الضبابية.
 إنّ الأنموذجين (24) كذلك لا يوفر معلمات ضبابية لذا فقد أقترحنا وضع إجراء لإيجاد معلمات الأنتروبي التي توضح العلاقة بين الأنتروبي والمدخلات ومن ثم أستغلال هذا الإجراء لتوفير المعلمات الضبابية التي تبين العلاقة بين المخرج الضبابي والمدخلات غير الضبابية، إذ يمكن تمثيل هذا الأجراء بأعادة كتابة الأنموذج (24) كما مبين فيما يأتي:

شكل (4): المخطط الأنسيابي لحل خوارزمية لوسون وهاتسون [من إعداد الباحث].



$$\omega^* = \theta_0 + \sum_{z=1}^k \theta_z f_z$$

$$e_{\mathcal{L}}^* = \tau_1 \left(\theta_0 + \sum_{z=1}^k \theta_z f_z \right) + \tau_0$$

$$e_{\mathcal{R}}^* = \varphi_1 \left(\theta_0 + \sum_{z=1}^k \theta_z f_z \right) + \varphi_0 \quad (30)$$



و بإعادة معلمة المعادلتين الأخيرة في (30) نحصل على:

$$\begin{aligned} \omega^* &= F_x \theta \\ e_{\mathcal{L}}^* &= F_x \theta^{\mathcal{L}} \\ e_{\mathcal{R}}^* &= F_x \theta^{\mathcal{R}} \end{aligned} \quad (31)$$

إذ أن:

$$\theta^{\mathcal{L}} = \begin{bmatrix} \tau_1 \theta_0 + \tau_0 \\ \tau_1 \theta_1 \\ \vdots \\ \tau_1 \theta_k \end{bmatrix}, \quad \theta^{\mathcal{R}} = \begin{bmatrix} \varphi_1 \theta_0 + \varphi_0 \\ \varphi_1 \theta_1 \\ \vdots \\ \varphi_1 \theta_k \end{bmatrix}$$

وعليه فإن الأنتروبي التقديري في (24) تم نمذجته بشكل خطي على المدخلات مع ضمان دمج تأثير الموقع و هذا عكس ما افترضه [20].
أما لقياس أداء الأنموذج في (24) فقد تم استخدام مؤشر يعد تعميماً لمتوسط الخطأ المطلق التقليدي لكن في حالة استخدام بيانات ضبابية، إذ يعرف متوسط الخطأ المطلق وكما يأتي [25]:

$$MAE = n^{-1} \sum_{i=1}^n |\theta_i - \mathcal{P}_i| \quad (32)$$

أذ أن \mathcal{P}_i و θ_i تمثل القيم المشاهدة والقيم التقديرية على التوالي، ويصف هذا المؤشر دقة التنبؤ عبر قياس مدى قرب المشاهدات عن المشاهدات التقديرية، أما في حالة البيانات الضبابية فقد عمم الباحث المؤشر السابق إلى حالته الضبابية بشكل مشابه لما تم التوصل إليه في [26] وكما موضح بالشكل الآتي:

$$ALSD = n^{-1} \sum_{i=1}^n \Delta_i^{AE} \quad (33)$$

إذ أن:

$$\Delta_i^{AE} = [w_{\omega} |\omega_i - \omega_i^*| + w_{\mathcal{R}} |e_{\mathcal{R}i} - e_{\mathcal{R}i}^*| + w_{\mathcal{L}} |e_{\mathcal{L}i} + e_{\mathcal{L}i}^*|]$$

يضاف على ما سبق أن المؤشر يمكن استخدامه في حالة الأنموذج (22) فقط يتم أبدال الموقع والأنتروبي ومجموعة الأوزان الخاصة بهما بمجموعة المركز والانتشار ومجموعة الأوزان الخاصة بهما على التوالي.

Practical Example

6. مثال تطبيقي

لغرض بيان كفاءة تطبيق الأنموذج المطور باستخدام دوال الأنتروبي ومقارنته باستخدام دوال الإلتصاف سنقوم بتحليل تأثير مكونات الإسمنت البورتلاندي (Portland cement (Pc)) على حرارة الإماهة (الحرارة الناتجة عن تفاعل المواد المكونة للإسمنت لحين فترة تصلبه)، إذ يمكن تعريف الأنموذج التجريبي بالنحو الآتي:

$$HPc \sim Ta + Ts + Taf \quad (34)$$

إذ أن HPc تمثل حرارة الإماهة مقاسة بالسرعات الحرارية لكل غرام من الإسمنت البورتلاندي، Ta يمثل ثلاثي ألومينات الكالسيوم ($Ca_3Al_2O_6$)، Ts يمثل ثلاثي سيليكات الكالسيوم (Ca_3SiO_5)، و Taf يمثل ألومينوفريت الكالسيوم ($Ca_2(Al,Fe)_2O_5$)، علماً بأن كل من Ta ، Ts و Taf مقاسة كنسب مئوية من وزن الخبث (Clinkers) الذي تم إنتاج الإسمنت منه على التوالي [27]، كما أن البيانات المستخدمة في الأنموذج التجريبي موضحة في جدول (1).



جدول (1): بيانات المخرج والمدخلات [جميع المدخلات والمخرج بدون تضبيب مأخوذة من [28] وبتصرف عن [27]].

Obs. <i>i</i>	Output	Iutputs		
	$HPc = (\omega; \psi)_{LL}$	Ta	Ts	Taf
1	(78.5, 8.6)	7	26	6
2	(74.3, 8.2)	1	29	15
3	(104.3, 11.5)	11	56	8
4	(87.6, 9.6)	11	31	8
5	(95.5, 10.5)	7	52	6
6	(109.2, 12.0)	11	55	9
7	(102.7, 11.3)	3	71	17
8	(72.5, 8.0)	1	31	22
9	(93.1, 10.2)	2	54	18
10	(115.9, 12.7)	21	47	4
11	(83.8, 9.2)	1	40	23
12	(113.3, 12.5)	11	66	9
13	(109.4, 12.1)	10	68	8

ولأجل استخدام الموقع والأنتروبي عوضاً عن دوال الأنتماء في التضبيب يتم حساب المعادلات الموضحة في جدول (2)، علماً بأن الباحث أفترض درجة منحني الأنتماء (الدقة) تتناقص بشكل خطي (معتدل) وبشكل تربيعي (بطيء) لسبب تدخل العديد من المؤثرات الخارجية على عملية تصلب الإسمنت البورتلاندي مما تجعل حرارة الإماهة غير دقيقة، فضلاً عن هذا فإنّ دوال الأنتروبي لدالة اليمين $R(x)$ واليسار $L(x)$ تكون متساوية في حالة استخدام الرقم الضبابي الثلاثي المعرف في (2.8).

جدول (2): معادلات حساب الأنتروبي حسب درجة الرقم الضبابي الثلاثي [من إعداد الباحث].

Order of TFN's	R=1	R=2
Entropy function	$e_L = \psi / \log(4)$	$e_L = (4 - \log(16))\psi / \log(8)$
	$e_R = \delta / \log(4)$	$e_R = (4 - \log(16))\delta / \log(8)$

وكذلك بحالة بياناتنا المتماثلة $\psi = \delta$ في جدول (1) فإنّ أنتروبي اليمين يساوي أنتروبي اليسار $e_L = e_R$ ، وبالأعتماد على جدول (2) يمكن تضبيب البيانات بسهولة باستخدام الموقع والأنتروبي، يضاف على هذا تم عد قيمة الثابت k في معادلات دوال الأنتروبي في جدول (2) على أنه مقلوب أكبر قيمة تصل إليها دوال الأنتروبي وفي حالتنا هذه فإنّ $k = \text{inv}(\log(2))$ وهو الساند في العديد من البحوث نذكر منها [4], [11].

فإذا تم بناء هيكلية الأنموذج المكيف المعرف في (22) و(24) وبإهمال مجموعة الأوزان لغرض المحافظة على أصالة الموضوع تبين الآتي:



جدول (3): المعلمات التقديرية لأنموذج الإنحدار الخطي الضبابي المكيف باستخدام دوال الأنتماء ودوال الأنتروبي.

Parameters	Entropy function		Parameters	Membership Function
	R=1	R=2		
θ	$\begin{bmatrix} 47.9050 \\ 1.7113 \\ 0.6560 \\ 0.2660 \end{bmatrix}$	$\begin{bmatrix} 47.9050 \\ 1.7113 \\ 0.6560 \\ 0.2660 \end{bmatrix}$	Ω	$\begin{bmatrix} 47.9050 \\ 1.7113 \\ 0.6560 \\ 0.2660 \end{bmatrix}$
$\tau_1 = \varphi_1$	0.0793	0.0649	$\lambda_1 = \alpha_1$	0.1100
$\tau_0 = \varphi_0$	4.4266×10^{-05}	4.3544×10^{-05}	$\lambda_0 = \alpha_0$	4.4712×10^{-05}

يتبين من الجدول (4.3) تطابق تقديرات المركز لأنموذج الضبابي المكيف باستخدام دوال الإلتناء مع تقديرات الموقع لأنموذج الضبابي المكيف باستخدام دوال الأنتروبي، كما أن أكبر تأثير على حرارة الأماهة يعود إلى ثلاثي ألومينات الكالسيوم (1.7113) يليه ثلاثي سيليكات الكالسيوم (0.6560) ثم أخيراً ألومينوفريت الكالسيوم (0.2660)، فضلاً على أن جميع المكونات الثلاث أنفة الذكر كان لها تأثير طردي على حرارة الأماهة أي بزيادة النسب المنوية لكل من Ta ، Ts و Taf ستزداد السرعات الحرارية لكل غرام من الإسمنت البورتلاندي بمقدار 1.7113، 0.6560 و 0.2600 على التوالي وهذا كله يطابق ما تم التوصل إليه في [26].
يلحظ أيضاً بأن معلمات الأنموذج المكيف سواء في حالة استخدام دوال الأنتماء أو دوال الأنتروبي تكون غير ضبابية لذا قد تم استخدام أسلوب المربعات الصغرى غير السالبة المعروف في (28) لإيجاد معلمات الأنتشار بشكل مباشر على المدخلات والأسلوب المقترح لإيجاد معلمات الأنتروبي بشكل مباشر على المدخلات والنتائج موضحة في الجدول (4) الآتي.

جدول (4): معلمات الأنتشار والأنتروبي في الأنموذج الإنحدار الخطي الضبابي المكيف.

	Entropy function		Membership function
	R=1	R=2	
$\theta^c = \theta^x =$	$\begin{bmatrix} 3.7989 \\ 0.1357 \\ 0.0520 \\ 0.0211 \end{bmatrix}$	$\theta^c = \theta^x =$	$\begin{bmatrix} 3.1091 \\ 0.1111 \\ 0.0426 \\ 0.0173 \end{bmatrix}$
		$\beta^c = \beta^x =$	$\begin{bmatrix} 5.2696 \\ 0.1882 \\ 0.0722 \\ 0.0293 \end{bmatrix}$

يلاحظ من الجدول (4) المذكور انفا أن أسلوب المربعات الصغرى غير السالبة لم يضمن تقدير معلمات الأنتشار بشكل غير دقيق بسبب تقيده بالعمليات الحسابية للأرقام الضبابية لكن أعطانا فكرة عن المعلمات بشكل عام فقط على عكس استخدام دوال الأنتروبي في الأنموذج المكيف إذ أستطعنا تحديد العلاقة بين الأنتروبي والمدخلات عبر المعلمات التقديرية بشكل دقيق، كما أن جميع معلمات الأنتشار والأنتروبي تحقق المتوقع في تأثير المدخلات على المخرج. أما لتقييم الأنموذج فأن جدول (5) يوضح مدى دقة الأنموذج في المطابقة والتنبؤ، إذ يمكن ملاحظة الفروق بين نتائج $ALSD$ ، فقد تفوق استخدام منحنى الأنتماء التريبيعي على الخطي في حالة استخدام دوال الأنتروبي والتي كلتا درجتى المنحنى تفوقت على الأنموذج المكيف باستخدام دوال الأنتماء وكالاتي:



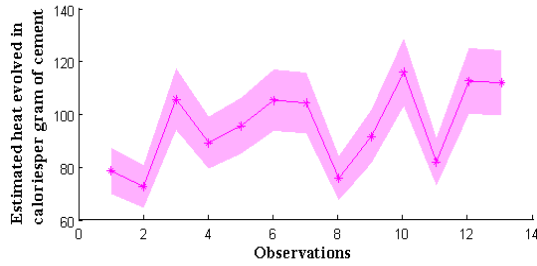
مقارنة بين دالة الإنتماء ودالة الأنتروبي في الإنحدار الخطي الضبابي المكيف

جدول (5): مقياس التقييم لأنموذج الإنحدار الخطي الضبابي المكيف باستخدام دوال الأنتماء ودوال الأنتروبي.

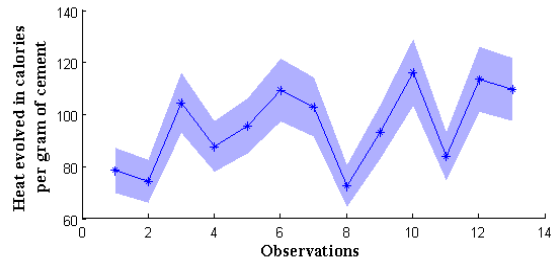
Type of Entropies		Comparison Methods	
Membership Function		<i>ALSD</i>	1.8960
Entropy function	$R = 1$	<i>ALSD</i>	1.8008
	$R = 2$	<i>ALSD</i>	1.7559

شكل (5): حرارة الإماهة الحقيقية والتقديرية مقاسة بالسعرات الحرارية لكل غرام من الأسمنت البورتلاندي وبالاعتماد على دوال الأنتماء ودوال الأنتروبي [من إعداد الباحث].

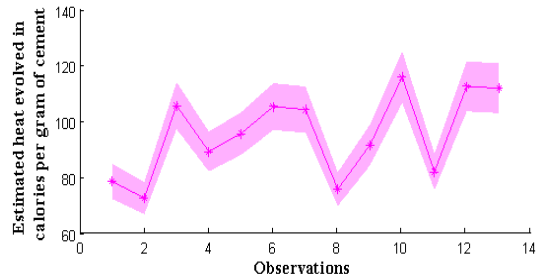
(a₂) حرارة الإماهة التقديرية باستخدام دالة الأنتماء



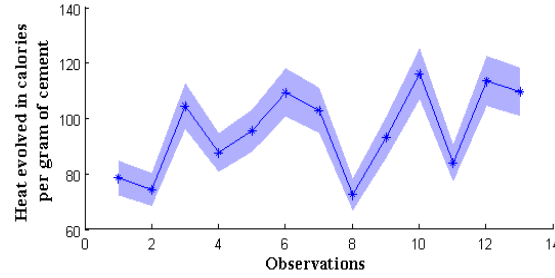
(a₁) حرارة الإماهة الحقيقية باستخدام دالة الأنتماء



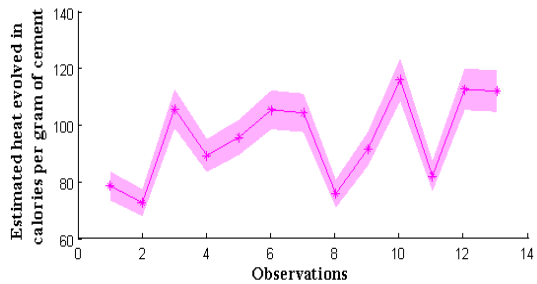
(b₂) حرارة الإماهة التقديرية باستخدام دالة الأنتروبي مع $R=1$



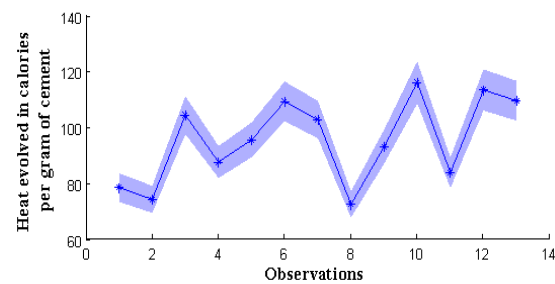
(b₁) حرارة الإماهة الحقيقية باستخدام دالة الأنتروبي مع $R=1$



(c₂) حرارة الإماهة التقديرية باستخدام دالة الأنتروبي مع $R=2$



(c₁) حرارة الإماهة الحقيقية باستخدام دالة الأنتروبي مع $R=2$





يتبين من الشكل (3) بأن حرارة الإماهة التقديرية الناتجة عن الأنموذج المكيف سواء باستخدام دوال الأنتماء (c_1, b_1, a_1) أم باستخدام دوال الأنتروبي كادت تطابق حرارة الإماهة الحقيقية (c_2, b_2, a_2) ، عليه وبالأستناد على النتائج السابقة يمكننا القول أن الأنموذج المكيف باستخدام دوال الأنتروبي قد جمع أفضل الصفات بالمقارنة مع الأنموذج المكيف باستخدام دوال الأنتماء.

Conclusions

7. الأستنتاجات

1. أظهر استخدام الموقع والأنتروبي لوصف الأرقام الضبابية كفاءة عالية في التطبيق كما حافظ على جميع المعلومات المحتواة في الرقم الضبابي ذاته، كذلك جعل مفهوم التضببب سهلاً للقارئ إذ تم تقسيم الرقم إلى قيمة أصلية وأنتروبي يمثل مقدار الضبابية، فضلاً على تخليص الأرقام الضبابية من القيود المعقدة لإجراء العمليات الحسابية، كما أن استخدام منحنى شكل دالة أنتماء تربيعي أعطى نتائج أفضل بالمقارنة مع الخطي.
2. أستطاع الأنموذج المكيف باستخدام دوال الأنتروبي بأن يأخذ بنظر العناية نوع عدم الدقة (شكل منحنى دالة الأنتماء) بينما لم يستطع الأنموذج المكيف باستخدام دوال الأنتماء الأهتمام بهذا الجانب.
3. الأنموذج المكيف الذي تم تطويره باستخدام دوال الأنتروبي يمتلك معلمات ضبابية كاملة على عكس الأنموذج المكيف باستخدام دوال الأنتماء بسبب تقيده بالعمليات الحسابية للارقام الضبابية مما جعل استخدام أسلوب المربعات الصغرى غير السالبة لا يعطينا فكرة دقيقة عن المعلمات الخاصة بالانتشار.
4. جمع الأنموذج المكيف باستخدام الموقع والأنتروبي أفضل الصفات، إذ تميز بسهولة تقديره وتفسيره فضلاً عن امتلاكه أفضل مقاييس التقييم.

المصادر

1. Coppi, R., D'Urso, P., Giordani, P., Santoro, A. (2006). Least squares estimation of a linear regression model with LR fuzzy response. *Computational Statistics & Data Analysis*, 51, 267-286.
2. Coppi, R. (2008). Management of uncertainty in statistical reasoning: The case of regression analysis. *International Journal of Approximate Reasoning*, 47, 284-305.
3. Ferraro M.B., Coppi, R., González Rodríguez, G., Colubi, A. (2010). A linear regression model for imprecise response. *International Journal of Approximate Reasoning*, 51, 759-770.
4. Kao, C., Lin, P.H. (2005). Entropy for fuzzy regression analysis. *International Journal of Systems Science*, 36(14), 869-876.
5. Mashinchi, M.H., Orgun, M.A. Mashinchi, M., Pedrycz, W. (2011). A Tabu-Harmony Search-Based Approach to Fuzzy Linear Regression. *IEEE TRANSACTIONS ON FUZZY SYSTEMS*, 19(3), 432-448.
6. Zimmermann, H. (1996). *Fuzzy set theory and its applications* (3rd ed.). London: Kluwer Academic Publishers.
7. Gong, Z., & Hai, S. (2016). Convexity of n-dimensional fuzzy number-valued functions and its applications. *Fuzzy Sets and Systems*, 295, 19-36.
8. Grzegorzewski, P., & Mrówka, E. (2005). Trapezoidal approximations of fuzzy numbers. *Fuzzy Sets and Systems*, 153, 115-135.
9. D'Urso, P., & Santoro, A. (2006). Goodness of fit and variable selection in the fuzzy multiple linear regression. *Fuzzy Sets and Systems*, 157, 2627-2647.
10. Ferraro, M. (2008). A linear regression model for LR fuzzy random variables: properties and inferential procedures. Thesis submitted to gain the degree of "PhD in methodological Statistics", Sapienza University of Rome.



11. De Luca, A. &. (1972). A definition of a nonprobabilistic entropy in the setting of fuzzy sets theory. *INFORMATION AND CONTROL*, 20, 301-3012.
12. Pedrycz, W. (1994). Why triangular membership functions? *Fuzzy Sets and Systems*, 64, 21-30.
13. Aphane, M. (2009). On some results of analysis in metric spaces and fuzzy metric spaces. Thesis submitted to gain the degree of "MSc in Mathematics Science" , University of South Africa.
14. Coppi, R., & D'Urso, P. (2003). Regression analysis with fuzzy informational paradigm: A least-squares approach using membership function information. *International Journal of Pure and Applied Mathematics*, 8(3), 279-306.
15. Näther, W. (2000). On random fuzzy variables of second order and their application to linear statistical inference with fuzzy data. *Metrika*, 51, 201-221.
16. Diamond, P., Kloeden, P. (1990). Metric spaces of fuzzy sets. *Fuzzy Sets and Systems*, 35, 241-249.
17. Feuring, T., Golubski, W., & Gassmann, M. (2000). Fuzzy regression: A genetic programming approach. *Fourth International Conference on knowledge-Based Intelligent Engineering Systems & Allied Technologies* (pp. 349-352). Brighton, UK: IEEE.
18. Ozelkan, E. (1997). Multi-objective fuzzy regression applied to the calibration of conceptual rainfall-runoff models. Thesis submitted to gain the degree of "PhD in system and industrial engineering" , University of Arizona.
19. Viertl, R. (2011). *Statistical method for fuzzy data*. Chichester, West sussex: John Wiley & Sons.
20. Lu, J., Wang, R. (2009). An enhanced fuzzy linear regression model with more flexible spreads. *Fuzzy Sets and Systems*, 160, 2505-2523.
21. D'Urso, P., & Gastaldi, T. (2000). A least-squares approach to linear regression analysis. *Comp. Stat. and Data Anal*, 34, 427-440.
22. D'Urso, P. (2003). Linear regression analysis for fuzzy/crisp input and fuzzy/crisp output data. *Computational Statistics & Data Analysis* , 42, 47-72.
23. Lawson, C.L., Hanson, R.J. (1974). *Solving least squares problems*. Englewood Clif, NJ: Prentice Hal.
24. Chen, D., & Plemmons, R. (2007). Nonnegativity exonstraints in numerical analysis. In A. &. Bultheel (Ed.), *The Symposium on the Birth of Numerical Analysis* (pp. 1-32). Leuven Belgium: World Scientific Press.
25. Hyndman, R., Koehler, A. (2006). Another look at measures of forecast accuracy. *International Journal of Forecasting*, 22, 688–679.
26. Abbas, A.F., Mohammed, M.J. (2017). Fuzzy Entropy in Adaptive Fuzzy Weighted Linear Regression Analysis with Application to Estimate Infant Mortality Rate. *Iraqi Journal of Science*, 58(1C), 497-514
27. Xu, R., Li, C. (2001). Multidimensional least-squares fitting with a fuzzy model. *Fuzzy Sets and Systems*, 119, 215-223.
28. Draper, N.R, Smith, H. (1980). *Applied Regression Analysis*. New York: Wiley.



A Comparision Between Membership function And Entropy Function In Fuzzy Adaptive Linear Regression

Abstract

There are many uncertainty sources that may affect the statistical reasoning. However, traditional methods can not deal with all kinds of uncertainty sources, which has led many researchers to develop traditional methods. Studies still exist to this day, making hypotheses to create a common understanding for the purpose of reaching new solutions through the use of new methods that combine traditional and modern theories of sources of uncertainty

The aim of current study was to develop the adaptive fuzzy linear regression model in the case of using inaccurate data as the source of uncertainty. Specifically, the model proposed by [1]. However, instead of what dominant in fuzzy linear regression analysis, we used a new born method that uses the positions and entropy to fuzzification instead membership function. As for the comparison method we used the mean absolute difference as performance's accuracy measures.

The results of this study showed the efficiency of the use of the position and the entropy function to describe the fuzzy numbers over the use of the membership functions. The results also indicated that the develop model has the best results compared to the model adapted using the membershop functions in [1].

Keywords \ Triple fuzzy number, membership function, entropy function, ifuzzy iterative least squares, adaptive fuzzy regression.